

62A-04

## 6A-04 FPGA を用いた将棋の高速計算の実現 — 詰め将棋

関 峰伸, 堀 洋平, Reijer Grimbergen, 丸山勉, 星野力

筑波大学, 電子技術総合研究所

### 1はじめに

将棋は他のゲームに比べて探索量が膨大となり、現在のコンピュータでは十分に先を読むことができない。我々はハードウェアを用いて将棋の計算を並列化、パイプライン化することによって高速化を目指している。今回は詰め将棋を実行するパイプライン制御方式を提案する。将棋の計算方法は未だ発展途上であり、その変化に対応するためにハードウェア化にはFPGA(Field Programmable Gate Array)を用いた。FPGAは、内部の回路を書換えることができるゲートアレイである。その書き換えは汎用計算機上で作成した構成データをFPGAにダウンロードするのみである。

### 2将棋の計算

将棋のような二人零和完全情報確定ゲーム(チェス、オセロ等)では、ゲームの木を作成し、その中から最善の手を探索するのが一般的である。

#### 2.1 計算手順

将棋プログラムは以下の3つの計算に分けられ、これらの計算を繰り返すことにより、ゲームの木を作成し探索を行なう。

- 盤面をサーチし局面の状態を表すデータを生成する。
- 1で生成したデータをもとに指し手を生成する。
- 指し手を評価する。

#### 2.2 詰め将棋

指し将棋と詰め将棋の違いは以下の2つである。

- 生成される指し手の種類が、詰め将棋では王手と王手を防ぐ手のみに限られる。
- 指し将棋での評価の計算は複雑であるが、詰め将棋ではほとんど必要としない。

High speed computation of shogi with a FPGA

- Mating problem

Minenobu Seki, Youhei Hori, Reijer Grimbergen,  
Tsutomu Maruyama & Tsutomu Hoshino  
University of Tsukuba & Electrotechnical Laboratory

詰め将棋の候補手は以下の6種類に限られる。

- 王手1：王を取ることができる位置への移動する。  
王手2：移動することにより他の駒(飛び駒)が王を取ることができるようになる。  
王手3：王を取ることができる位置へ打つ。  
防手1：王が効きのないところへ逃げる。  
防手2：王手している駒を取る。  
防手3：王手の効きを絶つ位置に駒を打つ。

### 3詰め将棋のハードウェア化

ハードウェアを用いて詰め将棋の計算を以下の3つのステージにわけてパイプライン処理する。これにより、探索木の3ヶ所を同時に探索する。

stage1：局面の更新

stage2：盤面のサーチ

stage3：候補手の生成と局面の評価

#### 3.1 stage 内の並列化とパイプライン化

stage 内の計算の  $9 \times 9$  の盤面のサーチとデータの移動である。これをソフトウェアでは各駒の位置を検出し、そこから逐次的に1マスずつ探索する。ハードウェアでは並列処理、パイプライン処理することにより盤面を1列(9マス)同時に、あるいは81マスすべてを同時に処理する。

#### 3.2 stage1：局面の更新

stage1では、新しい指し手による局面の更新を行なう。図1のデータをもとに、盤面データを1列ずつ読みだし必要ならば更新する。ここでの計算時間は18サイクルである。

b_w	sx	sy	dx	dy	p	t_peice
先手の手か後手の手					成るかどうか	

図1: 指し手データ

#### 3.3 stage2：盤面のサーチ

stage2では、盤面をサーチし、stage3での候補手の生成に必要なデータを作成する。駒の効きを表すデータ(図2)と王手、防手のみをマスクするためのデータを並

列に作成する。これらは、盤面を上下方向からサーチを行ない、その論理和を取ることにより求めることができる。以下はマスクデータの内容である。

王手マスク A：王のいる位置

王手マスク B：空き王手となる駒の位置

防手マスク C：相手の間接の効きがある位置

防手マスク D：王手している駒の位置

防手マスク E：合い駒できる位置

これらは、2.2章で述べた候補手の種類と以下のように対応する。A- 王手 1&3、B- 王手 2、C- 防手 1、D- 防手 2&3、E- 防手 3。

ここで計算時間は 25 サイクルである。



図 2: 駒の効きデータ

### 3.4 stage3：候補手の生成

駒の効きデータを用いてすべての可能な指し手を生成できる。stage3 では、それらの指し手に対して、マスクデータを用いて王手、防手のみをマスクする。そして生成された指し手をスタックに積む。この際、すべての可能な指し手の総数は 1 マスに対して 22 手である。ハードウエアでは 1 列同時に処理を行うので  $22 \times 9 = 198$  手もの指し手が一度に生成される可能性がある。しかし、詰め将棋において、1 列で生成される指し手の数は平均 1 ~ 2 手である。そこで、それらを効率良くスタックに積むために図 3 のようにデータ処理を行なう。各段は前段にある複数(5 ~ 9)のレジスタのうち、指し手がある場所のデータを格納する。複数のレジスタに指し手がある場合は左側優先で格納する。これにより、各列のデータ格納を  $(3 + \text{指し手数})$  サイクルで行なうことができる。ここでの計算時間は  $(\text{マスク処理時間} + 27 + \text{指し手数})$  サイクルである。マスク処理は数サイクルで行なう。詰め将棋における 1 ノードに対する平均指し手数は 5 手である。

### 4 計算時間の比較

ソフトウェアとハードウェアでの計算時間を比較する。計算時間は探索ノード数に比例する。そこで 1 ノード

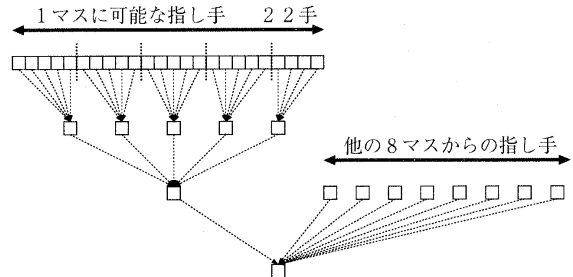


図 3: 生成された指し手データのスタックへの格納

当たりの計算時間を用いて比較する。ソフトウェアでは、Pentium3-700MHz を用いて平均約  $50 \mu \text{sec}$  であった。ハードウェアでは、3stage 中の最大サイクル数を用いて以下の式で表される。

$$(\text{stage3 の平均サイクル数}) \times (1/\text{動作周波数})$$

サイクル数の予測値は 35 ~ 40、動作周波数の予測値は 15 ~ 25MHz であり、平均約  $1.4 \sim 2.7 \mu \text{sec}$  となる。ゆえにハードウェアを用いることにより 19 ~ 36 倍の高速化ができると考えられる。

### 5 指し将棋への応用

このデータ処理方式に以下の 2 つを拡張することにより、指し将棋の探索を行なうことができる。

1. 局面を評価する stage をパイプラインに直列に追加し 4 つの stage で計算する。
2. マスクデータを変更、追加する。

### 5.1 指し将棋の計算時間

ソフトウェアでの 1 ノードに対する計算時間は 1 ノードで生成される指し手数、または盤面にある駒の数に比例する。ハードウェアでの計算時間は、stage3 のサイクル数(約 30) + 指し手数 である。ゆえに一般的に 1 ノードに対する指し手数が増加する指し将棋の場合、詰め将棋よりも速度向上率は向上する。

### 6 おわりに

FPGA を用いた詰め将棋の高速化手法について述べ、高速化できることを示した。また、この方式が指し将棋に応用できることを示した。今後は回路を完全に作成し実機で計算を行なう予定である。

### 参考文献

- [1] 松原 仁, 竹内 郁雄 編, "bit 別冊 ゲームプログラミング", 共立出版.